

## تأثیر شرایط محیطی بر صفات عملکردی گونه اندمیک *Seseli olivieri* Boiss.

مینا ریبعی<sup>۱</sup>، یونس عصری<sup>۲</sup> و فاطمه سفیدکن<sup>۳</sup>

<sup>۱</sup> گروه منابع طبیعی و محیط زیست، دانشگاه پیام نور، تهران، ایران؛ <sup>۲</sup> بخش تحقیقات گیاهشناسی، موسسه تحقیقات جنگلها و مراتع کشور، سازمان تحقیقات، آموزش و ترویج کشاورزی، تهران، ایران؛ <sup>۳</sup> بخش تحقیقات گیاهان دارویی، موسسه تحقیقات جنگلها و مراتع کشور، سازمان تحقیقات، آموزش و ترویج کشاورزی، تهران، ایران

مسئول مکاتبات: مینا ریبعی minarabie@pnu.ac.ir

چکیده. از تیره چتریان، گونه انحصاری کوههای البرز است. در این پژوهش تأثیر شرایط محیطی بر عملکرد صفات رویشی و ترکیب‌های انسانی این گونه مورد بررسی قرار گرفت. بدین منظور سه رویشگاه با ارتفاع‌های مختلف انتخاب شد و در هر یک از آنها صفات رویشی این گونه اندازه‌گیری شد. در هر رویشگاه، نمونه‌های خاک و سرشاخه‌های گلدار این گونه برداشت شد و در آزمایشگاه تجزیه شدند. ارتباط صفات عملکردی این گونه با عوامل محیطی با استفاده از آنالیز همبستگی و تجزیه مولفه‌های اصلی تعیین شد. تجزیه واریانس صفات رویشی نشان داد که بین سه رویشگاه تفاوت معنی‌داری وجود دارد. مقایسه میانگین صفات رویشی حاکی از آن بود که بیشترین مقادیر ارتفاع (۴۵/۲ متر)، قطر تاج پوشش (۳۶/۹ سانتی‌متر)، سطح تاج پوشش (۲/۷ درصد)، سطح برگ (۲/۲ سانتی‌متر مریع) و زیستود (۳۹/۸ گرم) به رویشگاه تیغه مربوط است. تجزیه واریانس اجزای انسانی گونه در سه رویشگاه تفاوت معنی‌داری را بین مواد مؤثره اندازه‌گیری شده نشان داد. در رویشگاه تنگ کاورد ماده مؤثره اصلی آپیول (۱۶/۲٪)، سیس-کادینا-۱(۶)-۴-دی‌ان (۱۴/۵٪)، آلفا-گورجون (۱۳/۸٪) و آپاتولنول (۱۲/۲٪)، در رویشگاه انزو آپیول (۲۰/۵٪)، در رویشگاه انزو آپیول استات (۱۶/۴٪) و آلفا-پینن (۱۱/۹٪)؛ و در رویشگاه تیغه بورنیل استات (۲۰/۷٪)، آلفا-پینن (۱۶/۲٪) و ان-تراتکوزان (۱۰/۲٪) بودند. تجزیه واریانس پارامترهای فیزیکوشیمیایی خاک تفاوت معنی‌داری را بین سه رویشگاه نشان داد. در میان عوامل محیطی، ارتفاع، بارندگی سالانه، دمای سالانه، حداقل دمای سرددترین ماه، حداقل دمای مطلق، آهک و نیتروژن بیشترین همبستگی معنی‌دار را با صفات عملکردی این گیاه داشتند. براساس معیار IUCN، جایگاه حفاظتی این گونه در بحران انقرض تعیین شد.

**واژه‌های کلیدی:** استان سمنان، ترکیب‌های انسانی، تیره چتریان، عوامل محیطی، ویژگی‌های ریخت‌شناسی

## The effect of environmental conditions on the functional traits of the endemic species *Seseli olivieri* Boiss.

**Mina Rabie<sup>1</sup>, Younes Asri<sup>2</sup> & Fatemeh Sefidkon<sup>3</sup>**

<sup>1</sup> Department of Natural Resources and Environmental Engineering, University of Payame Noor, Tehran, Iran; <sup>2</sup> Botany Research Division, Research Institute of Forests and Rangelands, Agricultural Research Education and Extension Organization (AREEO), Tehran, Iran; <sup>3</sup> Medicinal Plants Research Division, Research Institute of Forests and Rangelands, Agricultural Research Education and Extension Organization (AREEO), Tehran, Iran.

Corresponding author: Mina Rabie, minarabie@pnu.ac.ir

**Abstract.** *Seseli olivieri* (Apiaceae) is an exclusive species of the Alborz Mountains, Iran. In this research, the effect of environmental conditions on the vegetative traits and essential oil compounds of this species was investigated. For this purpose, three habitats with different heights were selected and the vegetative characteristics of this species were measured. In each habitat, soil samples and flowering branches of this species were collected and analyzed in the laboratory. The relationship between the functional traits of this species and environmental factors was determined using CA and PCA. Variance analysis of functional traits and soil parameters showed a significant difference between the three habitats. The highest values of vegetative traits were related to Tuyeh habitat. In Tange Kavard habitat, the main effective substances were Apiol and *cis*-Cadina-1(6),4-diene; in Enzo habitat, Apiol and Bornyl acetate; and in the Tuyeh habitat, Bornyl acetate and  $\alpha$ -Pinene. Among the environmental factors, altitude, annual precipitation, annual temperature, minimum temperature of the coldest month, minimum absolute temperature, lime and nitrogen had the most significant correlation with the functional traits of this plant. Based on the IUCN criteria, the conservation status of this species was determined in the critically endangered.

**Key words.** Apiaceae, environmental factors, essential oil compounds, morphological characteristics, Semnan province

*S. olivieri*). در حال حاضر این گونه همنام (Sefidkon et al., 1997).  
*Hassler, 1994-2024* اسست (*staurophyllum*).  
 ترکیب‌های آلفا-پین، بتا-فلاندرن، بتا-پین و سابین به عنوان اجزای اصلی اسانس *S. tortuosum* subsp. *kiabii* (Akhani et al., 2003) از منطقه گرگان معرفی شد (Hassler, 2003). این گونه اکنون همنام می‌باشد (S. *kiabii* (Akhani) *denudatum* Boiss. *L. khorassanicum* (Akhani) *Pimenov & Kljuykov* *staurophyllum* *S. olivieri* Boiss. *S. libanotis* (L.) W.D.J.Koch subsp. *Rech.f.* *S. transcaucasicum* (Schischk.) *libanotis* (Pimenov & Sdobnina) نیستند، گونه اخیر انحصاری ایران تا ایران و گونه *S. transcaucasicum* در قفقاز و ترکیه نیز انتشار دارند. در فلورهای ایرانیکا و ایران اعضا این جنس علاوه *Eriocycla Lindl.* در جنس‌های *Seseli L.* *Lomatopodium Fisch.* & *Libanotis J.Hill Rechinger, 1987;* *C.A.Mey.* قرار گرفته‌اند (Mozaffarian, 2007).

*L. transcaucasica* Schischk. در حال حاضر (Shishkin, 1950) همنام *S. transcaucasicum* Hassler, 1994- است (L. *transcaucasica* جمع‌آوری شده از ذکرشده اولین بار توسط Bordzil در سال ۱۹۳۱ معرفی شد، اما سپس در فلور سوری سابق توسط Shishkin همنام *L. transcaucasica* Schischk. در گذشته شد (Shishkin, 1950). در حال حاضر ایلان، گونه ایلان، جرمکرون، آکورنون، لیمونن و آلفا-پین معرفی شد (Masoudi et al., 2006). واریته ایزواسپاتولنول و جرمکرون (Bordzil) به عنوان اجزای اصلی اسانس معرفی شد (Shahabipour et al., 2013). ترکیب‌های اصلی اسانس ایزواسپاتولنول و جرمکرون (Bordzil) به عنوان اجزای اصلی اسانس معرفی شد (Shahabipour et al., 2013). ترکیب‌های اصلی اسانس *E. olivieri* (Boiss.) H.Wolff ایلان، گاما-المین، جرمکرون (Bordzil) به عنوان اجزای اصلی اسانس معرفی شد (Yassa & Akhani, 2016). این گونه اکنون گزارش شد (Hassler, 1994-2024). در جمعیت‌های *E. ghafoorianiana* Akhani چهارباغ گرگان، میریستیسین، بورنیل استات و گاما-المین؛ و از پارک ملی گلستان، دیل آپیول، آلفا-سلین و میریستیسین به عنوان اجزای اصلی اسانس معرفی شدند (Yassa & Akhani, 2016). این گونه اکنون همنام *E. olivieri* (Hassler, 1994-2024) می‌باشد (*ghafoorianum*).

مطالعه ترکیب‌های اسانس دو گونه *Seseli* موجود در ایران که در کشورهای دیگر نیز انتشار دارند، بسیار کم است. در این زمینه می‌توان به شناسایی ترکیب‌های اسانس *S. libanotis* Ozturk در یک جمعیت ترکیه (Ercisli, 2006) و نیز جمعیت در

## مقدمه

یکی از بزرگ‌ترین جنس‌های تیره چتریان (*Seseli L.* Apiaceae, Umbelliferae) است که تا کنون بیش از ۱۴۱ گونه از این جنس در جهان گزارش شده است (Hassler, 1994-2024). این جنس در ایران هفت گونه دارد که از میان آنها پنج گونه اندامیک ایران می‌باشند. این گونه‌ها عبارت‌اند از: *S. ghafoorianum* (Akhani) *denudatum* Boiss. *S. kiabii* (Akhani) *Pimenov & Kljuykov* *staurophyllum* *S. olivieri* Boiss. *Akhani* *S. libanotis* (L.) W.D.J.Koch subsp. *Rech.f.* *S. transcaucasicum* (Schischk.) *libanotis* (Pimenov & Sdobnina) دو گونه اخیر انحصاری ایران نیستند، گونه ایلان *S. libanotis* subsp. *libanotis* در کل اروپا تا ایران و گونه *S. transcaucasicum* در قفقاز و ترکیه نیز انتشار دارند. در فلورهای ایرانیکا و ایران اعضا این جنس علاوه *Eriocycla Lindl.* در جنس‌های *Seseli L.* *Lomatopodium Fisch.* & *Libanotis J.Hill Rechinger, 1987;* *C.A.Mey.* قرار گرفته‌اند (Mozaffarian, 2007).

جنس *Seseli* گونه‌های معطر زیادی دارد که عمدها سرشار از کومارین‌ها، ترپن‌وئیدها، پلی‌استیلن‌ها و اسانس‌ها هستند و به دلیل خواص درمانی شناخته شده مورد استفاده قرار می‌گیرند (Önder et al., 2023). تعدادی از گونه‌ها در طب سنتی به عنوان داروهای گیاهی برای اهداف متعددی، از جمله برای درمان سرماخوردگی، التهاب، درد و ضد نفخ استفاده می‌شوند. بعضی از اعضا این جنس به دلیل فعالیت‌های ضد کرم، دافع حشرات، ضد اسپاسم و مُدر شناخته شده‌اند. اثرات ضد باکتریایی، ضد قارچی، ضد سرطانی، ضد التهابی و ضد درد Rabdanova (et al., 2024) علاوه بر این، تعدادی از گزارش‌های علمی نشان داده‌اند که گونه‌های *Seseli* حاوی روغن‌های فرار با پتانسیل‌های دارویی مهم هستند. به عنوان مثال، مطالعات مختلف نشان داده‌اند که اسانس گونه‌های *Seseli* دارای خواص ضد میکروبی و همچنین آنتی‌اکسیدانی هستند (Zengin et al., 2021).

در زمینه شناسایی ترکیب‌های اسانس گونه‌های مختلف *Seseli* در ایران مطالعات کمی انجام شده است که به آنها اشاره می‌شود. ترکیب‌های اصلی اسانس *Lomatopodium* (*staurophyllum*) (Rech.f.) Rech.f. در منطقه گرمسار، ترانس-بتا-آلسیمن، میرسن و سیس-بتا-آلسیمن گزارش شد

به ترتیب فالکارینول، آلفا-پینن، سیگما-آمورفن، سابینن و بتا-سسکوئیفلاندِرِن؛ اندام هوایی آلفا-پینن، سابینن، لیمونن، بتا-فلاندِرِن، کاریوفیلین اکسید و بورنیل استات؛ و میوه سابینن، آلفا-پینن، بتا-فلاندِرِن، فالکارینول، جرماسکرون، B، کاروتول، جرماسکرون، D، بتا-سسکوئیفلاندِرِن، ترانس-کاریوفیلین و لیمونن گزارش شد.

با توجه به اینکه عوامل محیطی تغییراتی را در میزان رشد و مواد مؤثره گیاهان ایجاد می‌کنند، بنابراین زمانی گیاهان دارویی از نظر اقتصادی مقرون به صرفه هستند که محتوای متabolیت‌های اولیه و ثانویه آنها در حد مطلوبی باشد. براین اساس در پژوهش حاضر تأثیر عوامل توپوگرافی، اقلیمی و ادافيکی بر صفات رویشی و ترکیب‌های انسانس گونه *S. olivieri* در سه منطقه با شرایط رویشگاهی مختلف بررسی شد تا رویشگاهی با شرایط بهینه رشد و مواد مؤثره معرفی شود.

### مواد و روش‌ها

#### صفات رویشی

*S. olivieri* گیاهی پشتهدی، خشی و صخره‌روی است (شکل ۱) که پراکنش محدودی در کوه‌های البرز دارد. ساقه‌های آن متعدد، شکننده، کمانی – ایستاده و به ارتفاع ۲۰–۴۵ سانتی‌متر است. برگ‌های قاعده‌ای و پایین ساقه دمبرگ‌دار و در بالای ساقه بدون دمبرگ، دو جفت برگچه‌ای تنک، سه قسمتی و دندانه‌ای – بریده هستند. چترهای جانبی ۵–۶ ساعی و انتهایی‌ها ۸–۱۵ ساعی می‌باشند. طول شاععها ۸–۱۲ میلی‌متر است. دندانه‌های کاسه‌گل سه‌گوش و گلبرگ‌ها سفید رنگ هستند. میوه‌ها همان‌دازه دم‌میوه‌ها با پره‌های مشخص و کانال‌های بین پره‌ای حاوی کانال شیرابه‌ای است (Mozaffarian, 2007).

اتریش و یک جمعیت در ایتالیا (Chizzola, 2019) اشاره کرد. ترکیب‌های اصلی اندام هوایی جمعیت ترکیه، ترانس-کاریوفیلین، اسپاتولنول، کاریوفیلین اکسید و یوآسارون بود، در حالی که ترکیب‌های اصلی سرشاخه‌های گلدار جمعیت‌های اتریش و ایتالیا، بتا-فلاندِرِن، سابینن و کاروتول گزارش شد. مقایسه ترکیب‌های اصلی هر گونه در مناطق مختلف نشان می‌دهد که نوع این ترکیب‌ها تقریباً مشابه‌اند، اما مقدار آنها اختلافاتی را دارند که ناشی از تأثیر عوامل محیطی است.

در زمینه تأثیر عوامل اکولوژیکی بر ویژگی‌های فیتوشیمیایی گونه‌های *Seseli* مطالعات بسیار کمی انجام شده است که به آنها اشاره می‌شود. در بررسی ترکیب شیمیایی انسانس ریشه *S. rigidum* Waldst. & Kit جمعیت‌ها بر اساس نوع اقلیم در سه گروه قرار گرفتند (Marčetić et al., 2013). گروه اول شامل جمعیت‌های رشدیافته در اقلیم مرطوب و حاوی مقدار زیادی فالکارینول و مقدار کم سسکوئیترین؛ و دو گروه دیگر شامل جمعیت‌های رشدیافته در اقلیم نیمه‌خشک و حاوی مقدار کم فالکارینول و مقدادر زیاد آلفا-مورولن، سیگما-آمورفن و بتا-سسکوئیفلاندِرِن بود. البته هیچ تفکیک مشخصی بین جمعیت‌ها از نظر نوع خاک مشاهده نشد. در این پژوهش دامنه ارتفاعی رویشگاه‌ها بسیار کم بود (۳۸۰–۱۰۰۰ متر) و هیچیک از پارامترهای اقلیمی و ادافيکی تعیین و اندازه‌گیری نشده بود و فقط اقلیم کلی رویشگاه‌ها (مرطوب و نیمه‌خشک) و نوع کلی خاک (آهکی و سربانتن) تعیین شده بود. در ادامه پژوهش یادشده، ترکیب‌های انسانس ریشه، اندام هوایی و میوه هفت جمعیت *S. rigidum* شناسایی شد (Marčetić et al., 2017). جمعیت‌های بررسی شده از نظر ترکیب انسانس تنوع بین جمعیتی و به‌ویژه درون جمعیتی را نشان دادند. این پژوهشگران دریافتند که اقلیم تأثیر زیادی بر ترکیب انسانس‌های اندام‌های مختلف گیاه داشت، در حالی که تأثیر نوع خاک کمتر بود. ترکیب‌های اصلی انسانس ریشه

شکل ۱- *S. olivieri* در رویشگاه طبیعی.**Figure 1.** *S. olivieri* in natural habitat.

رویشگاه‌ها نمونه‌برداری به روش تصادفی در ۱۵ پلاٹ ۴×۴ متری (۱۶ مترمربع) انجام شد. اندازه پلات‌ها با توجه به نوع پراکنده‌گی گونه *S. olivieri* در رویشگاه و متوسط قطر تاج پوشش تعیین شد؛ ضمن اینکه تعداد پلات‌ها به گونه‌ای انتخاب شد که نتایج مطمئنی از جنبه آماری ارائه کند (Arzani & Abedi, 2015).

#### انتخاب مناطق نمونه‌برداری

مکان‌های نمونه‌برداری گونه *S. olivieri* با استفاده از فلور ایران (Mozaffarian, 2007) و اطلاعات مربوط به جمع‌آوری‌های قبلی برای فلور استان مشخص شد. سپس به کمک بازدیدهای میدانی از بین این مکان‌ها، سه رویشگاه با شرایط محیطی مختلف انتخاب شد (جدول ۱). در هر یک از این

جدول ۱- مشخصات مناطق نمونه‌برداری *S. olivieri***Table 1.** Characteristics of *S. olivieri* sampling areas.

Sampling site	Longitude (E)	Latitude (N)	Altitude (m)	Aspect	Slope (%)
Shahmirzad, Tange Kavard	53° 28' 07"	36° 02' 38"	1720	E	40-45
Mahdishahr, Enzo	53° 24' 48"	35° 45' 37"	2010	N	50-55
Damghan, Tuyeh	53° 49' 24"	36° 02' 58"	2330	N	60-70

#### . ادامه جدول ۱

**Table 1.** Continued.

Sampling site	Annual precipitation (mm)	Annual temperature (°C)	Maximum temperature of the hottest month (°C)	Minimum temperature of the coldest month (°C)	Absolute maximum temperature (°C)	Absolute minimum temperature (°C)
Tange Kavard	197.5	13.9	19.2	8.6	37.7	-15.7
Enzo	227.4	12.2	17.5	6.9	36	-17.4
Tuyeh	241.5	10.3	16.5	4.3	35.1	-18.5

یافت و به مدت ۳ دقیقه در این دما ثابت ماند. دمای محفظه تزریق و دتکتور (FID) ۲۸۰ درجه سانتی‌گراد تنظیم شد. برای آنالیز GC/MS از دستگاه کروماتوگراف گازی Agilent 7890A متعلق به طیف‌سنج جرمی Agilent 5975C از نوع چهار قطبی، مجهز به ستون DB-5 نیمه‌قطبی به طول ۳۰ متر و قطر داخلی ۰/۲۵ میلی‌متر که ضخامت لایه فاز ساکن برابر ۰/۲۵ میکرون بود، استفاده شد. از هلیوم به عنوان گاز حامل با سرعت ۳۰/۶ سانتی‌متر بر ثانیه در طول ستون استفاده شد. برنامه‌ریزی حرارتی ستون از ۶۰ درجه سانتی‌گراد شروع شده و پس از ۳ دقیقه توقف در همان دما، به تدریج با سرعت ۳ درجه سانتی‌گراد در دقیقه افزایش یافته تا به ۲۶۰ درجه سانتی‌گراد رسید و در نهایت ۳ دقیقه در این دما نگهداری شد. دمای محفظه تزریق و ترانسفر لاین به ترتیب ۲۶۰ و ۲۸۰ درجه سانتی‌گراد تنظیم شده بود. زمان اسکن برابر یک ثانیه، انرژی یونیزاسیون ۷۰ الکترون ولت و اسکن ناحیه جرمی از ۴۰ تا ۳۴۰ بود.

شناسایی مواد تشکیل‌دهنده انسانس به سه روش مقایسه شاخص بازداری اجزای انسانس با آنچه در منابع وجود داشت (Adams, 2007)، مطالعه طیف‌های جرمی هر یک از اجزای انسانس با طیف جرمی موجود در کتابخانه دستگاه GC/MS و در نهایت تزریق همزمان نمونه‌های استاندارد از ترکیب‌های شناخته شده در انسانس‌ها انجام شد.

### اندازه‌گیری پارامترهای فیزیکوشیمیایی خاک

در هر رویشگاه، پنج نمونه خاک از عمق ۰-۳۰ سانتی‌متر برداشت شد. واکنش خاک به وسیله pH متر الکترود شیشه‌ای، هدایت الکتریکی با هدایت‌سنج الکتریکی بر حسب دسی‌زمینس بر متر، درصد اشباع با استفاده از گل اشباع بر حسب درصد، بافت خاک به روش هیدرومتری، آهک به روش حجم‌سنجی با اسید کلریدریک بر حسب درصد، گچ به روش استن بر حسب میلی‌اکی‌والان در ۱۰۰ گرم، فسفر قابل جذب به روش اسون، پتاسیم قابل جذب به روش عصاره‌گیری با استات آمونیم، نیتروژن کل به روش کجلدال و ماده آلی به روش والکی - بلاک اندازه‌گیری شد (Anonymous, 2009).

### جاگاه حفاظتی گونه

جاگاه حفاظتی S. olivieri با استفاده از روش اتحادیه جهانی حفاظت از طبیعت (IUCN, 2022) تعیین شد. برای این منظور، دو پارامتر EOO و AOO این گونه با استفاده از نرم‌افزار GeoCAT و براساس مختصات جغرافیایی نقاط پراکنش آن تعیین شد. سپس با استفاده از این اطلاعات و همچنین داده‌های

### اندازه‌گیری صفات رویشی

برخی از صفات رویشی *S. olivieri* شامل ارتفاع گیاه، قطر تاج‌پوشش، سطح تاج‌پوشش، زیتد و سطح برگ در پلات‌های استقراری ایافته در سه رویشگاه اندازه‌گیری شد. ارتفاع گیاه و دو قطر عمود برهم تاج آنها با استفاده از متر نواری اندازه‌گیری شد و برای تعیین سطح تاج‌پوشش از رابطه مساحت دایره استفاده شد. اندام هوایی پایه‌های این گونه در داخل پلات‌ها قطع شد و سپس وزن آنها با استفاده از ترازوی Sartorius با دقت ۰/۰۱ گرم اندازه‌گیری شد. در هر پلات ۵ برگ از هر پایه جمع‌آوری شد و پس از مخلوط کردن، ۵ نمونه به طور تصادفی انتخاب شد. سطح برگ گیاهان با استفاده از دستگاه سطح برگ‌سنج ۴cht Model Aok GateHouse نرم‌افزار WinDias 2.0 اندازه‌گیری شد. برای تهیه نمونه هرباریومی، اندام هوایی گلدار *S. olivieri* از سه منطقه شهری‌زاد (تنگ کاورد)، مهدی شهر (انزو) و دامغان (توبیه) جمع‌آوری شد. نمونه‌های گیاهی در هرباریوم موسسه تحقیقات جنگل‌ها و مراعت کشور (TARI) شناسایی و با کدهای ۱۰۹۹۹۹، ۱۱۰۰۰۱ و ۱۱۰۰۰۱ نگهداری می‌شوند.

### جمع‌آوری گیاه و انسانس‌گیری

اندام هوایی گلدار *S. olivieri* از سه رویشگاه طبیعی استان سمنان در مردادماه ۱۴۰۱ جمع‌آوری شد. در هر رویشگاه سه نمونه گیاهی طوری انتخاب شدند که برآیند مناسبی از توده‌های گیاهی آن منطقه باشند. اندام‌های هوایی برداشت شده در سایه خشک و سپس توسط آسیاب برقی خرد شدند. ۱۰۰ گرم از پودر گیاه جهت استخراج انسانس به روش تقطیر با آب به مدت ۳ ساعت توسط دستگاه تیپ کلونجر طبق فارماکوپه بریتانیا انسانس‌گیری شد. نمونه‌های انسانس در یخچال و دمای ۴ درجه سانتی‌گراد نگهداری شدند.

### شناسایی اجزای تشکیل‌دهنده انسانس

آنالیز GC با استفاده از دستگاه کروماتوگراف گازی فوق‌سریع Thermo-UFM (GC-FID) مدل Chrom-card 2006 انجام شد. از هلیوم به عنوان گاز حامل با سرعت ۰/۵ میلی‌لیتر در دقیقه و ستون DB-5 نیمه‌قطبی به طول ۱۰ متر و قطر داخلی ۰/۱ میلی‌متر که ضخامت لایه فاز ساکن در آن ۰/۴ میکرون بود، استفاده شد. دمای ستون در ۶۰ درجه سانتی‌گراد به مدت ۳ دقیقه نگهداری و سپس با سرعت ۴۰ درجه سانتی‌گراد در دقیقه تا ۲۸۵ درجه سانتی‌گراد افزایش

ترکیب‌هایی از اسانس استفاده شد که مقادیر آنها حداقل در یکی از رویشگاه‌ها بیش از ۳ درصد بود.

مربوط به اندازه جمعیت و کیفیت رویشگاه، در زمینه جایگاه حفاظتی گونه *S. olivieri* براساس شاخص‌های این اتحادیه تصمیم‌گیری شد.

## نتایج

تجزیه واریانس مقادیر صفات رویشی *S. olivieri* در سه رویشگاه نشان داد که از نظر قطر و سطح تاجپوشش در سطح ۱/۰ درصد، سطح برگ در سطح ۱ درصد و ارتفاع و زیتوده در سطح ۵ درصد تفاوت معنی‌داری وجود داشت (جدول ۲). مقایسه میانگین‌ها نشان داد که در سه رویشگاه بیشترین مقادیر ارتفاع (۴۵/۲ سانتی‌متر)، قطر تاجپوشش (۳۶/۹ سانتی‌متر)، سطح تاجپوشش (۲/۷ درصد)، سطح برگ (۲/۲ سانتی‌متر مربع) و زیتوده (۳۹/۸ گرم) به رویشگاه تویه مربوط است (جدول ۳).

## تحلیل آماری

تجزیه واریانس داده‌های مربوط به صفات عملکردی *S. olivieri* و خصوصیات اکولوژیکی سه رویشگاه با استفاده از نرم‌افزار SPSS نسخه ۲۶ صورت گرفت. مقایسه میانگین داده‌های سه رویشگاه پس از معنی‌داری‌بودن آنها با استفاده از آزمون تحلیل واریانس (ANOVA) انجام شد. برای تحلیل عاملی از روش تجزیه مولفه‌های اصلی (PCA) در نرم‌افزار Minitab نسخه ۱۷ و برای تعیین همبستگی خصوصیات از نرم‌افزار SPSS نسخه ۲۶ استفاده شد. در آنالیزداده‌ها،

جدول ۲- تجزیه واریانس صفات رویشی *S. olivieri*

**Table 2.** Variance analysis of vegetative traits of *S. olivieri*.

Sources of variations	d.f.	Mean Squares				
		Height	Canopy diameter	Canopy cover	Leaf area	Biomass
Habitat	2	66.074*	636.817***	6.761***	0.962**	174.781*
Experimental error	42	16.016	12.508	0.170	0.067	42.372

\*, \*\* and \*\*\*: significant at 5, 1 and 0.1% probability levels, respectively

جدول ۳- مقایسه میانگین ( $\pm$  انحراف معیار) صفات رویشی *Seseli olivieri*

**Table 3.** Comparison of mean ( $\pm$ SD) vegetative traits of *S. olivieri*.

Morphological traits	Areas		
	Tange Kavard	Enzo	Tuyeh
Height (cm)	38.04 $\pm$ 4.88	40.64 $\pm$ 4.27	45.22 $\pm$ 2.44
Canopy diameter (cm)	14.40 $\pm$ 1.88	24.10 $\pm$ 4.45	36.90 $\pm$ 3.76
Canopy cover (%)	0.41 $\pm$ 0.10	1.17 $\pm$ 0.44	2.69 $\pm$ 0.55
Leaf area (cm <sup>2</sup> )	1.41 $\pm$ 0.12	1.63 $\pm$ 0.10	2.25 $\pm$ 0.42
Biomass (g)	28.52 $\pm$ 3.13	31.22 $\pm$ 2.81	39.84 $\pm$ 10.46

تجزیه اسانس اندام‌های هوایی سه جمعیت *S. olivieri* وجود ۴۱ ترکیب را نشان داد که از میان آنها ۲۵ ترکیب در سه رویشگاه مشترک هستند (جدول ۴). بیشترین مقادیر مواد مؤثره در رویشگاه تنگ کاورد به آپیول، سیس-کادینا-۱(۶)، ۴-دیان، آلفا-گورجون و اسپاتولنول به ترتیب با ۱۳/۸، ۱۴/۵، ۱۶/۲ و ۱۰/۲ مربوط بود.

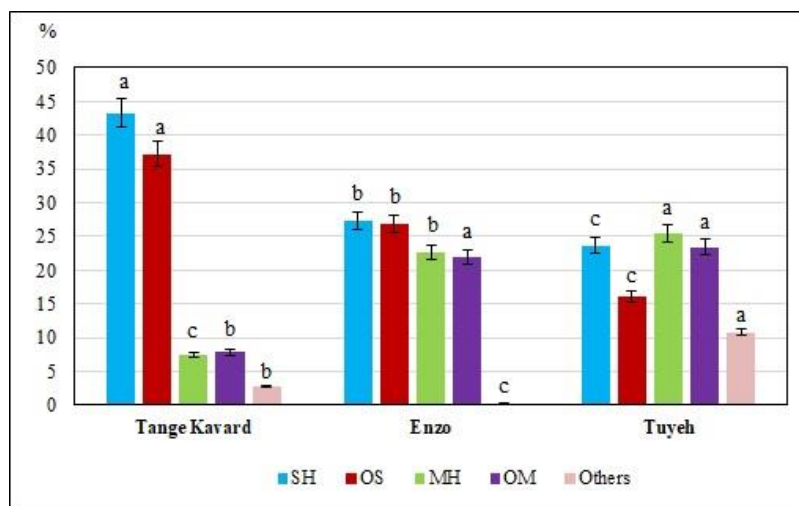
تجزیه اسانس اندام‌های هوایی سه جمعیت *S. olivieri* وجود ۴۱ ترکیب را نشان داد که از میان آنها ۲۵ ترکیب در سه رویشگاه مشترک هستند (جدول ۴). بیشترین مقادیر مواد مؤثره در رویشگاه تنگ کاورد به آپیول، سیس-کادینا-۱(۶)، ۴-دیان، آلفا-گورجون و اسپاتولنول به ترتیب با ۱۳/۸، ۱۴/۵، ۱۶/۲ و ۱۰/۲ مربوط بود.

جدول ۴ - ترکیب‌های اسانس *S. olivieri* در سه رویشگاه.**Table 4.** *S. olivieri* essential oil compounds in three habitats.

No	Compounds	RI	Major components	Tange Kavard	Enzo	Tuyeh
1	$\alpha$ -Pinene	940	MH	0.86	11.89	16.24
2	Campphene	956	MH	2.08	1.56	-
3	Sabinene	975	MH	0.52	0.43	1.49
4	$\beta$ -Thujene	981	MH	0.75	0.97	5.12
5	$\beta$ -Pinene	986	MH	0.86	1.28	0.58
6	Limonene	1032	MH	1.39	2.48	-
7	1,8-cineole	1037	OM	1.27	1.86	0.60
8	$\beta$ -Phellandrene	1040	MH	0.34	2.79	1.12
9	(Z)- $\beta$ -Ocimene	1050	MH	-	0.40	-
10	(E)- $\beta$ -Ocimene	1065	MH	0.64	0.77	0.99
11	Linalool	1102	OM	0.56	1.19	-
12	Camphor	1140	OM	-	-	1.09
13	Pinocarvone	1166	OM	-	0.45	-
14	$\alpha$ -Terpineol	1201	OM	0.50	-	-
15	Myrtenal	1203	OM	0.34	0.69	1.02
16	Bornyl acetate	1290	OM	3.44	16.37	20.71
17	Myrtenyl acetate	1323	OM	1.70	1.41	-
18	Bicycloelemene	1330	SH	0.76	-	-
19	$\alpha$ -Cubebene	1345	SH	0.31	0.59	1.10
20	$\alpha$ -Ylangene	1372	SH	1.39	1.53	1.52
21	$\alpha$ -Copaene	1375	SH	1.68	0.59	0.12
22	Italicene	1424	SH	1.76	2.26	3.09
23	$\alpha$ -Gurjunene	1434	SH	13.81	7.86	1.97
24	$\alpha$ -Humulene	1473	SH	0.85	0.49	-
25	$\alpha$ -Acoradiene	1481	SH	2.33	1.13	1.35
26	cis-Cadina-1(6),4-diene	1489	SH	14.50	5.97	6.36
27	trans-Cadina-1(6),4-diene	1501	SH	5.19	2.64	3.22
28	Epizonarene	1519	SH	0.40	1.85	1.95
29	Zonarene	1520	SH	0.36	1.25	1.23
30	Germacrene B	1557	SH	-	1.08	1.70
31	Spathulenol	1573	OS	12.17	4.24	5.37
32	Caryophyllene oxide	1577	OS	3.31	1.16	1.55
33	$\gamma$ -Eudesmol	1623	OS	-	-	0.75
34	$\alpha$ -Muurolol	1640	OS	0.57	0.51	0.54
35	$\alpha$ -Cadinol	1659	OS	-	-	2.03
36	5-iso-Cedranol	1663	OS	-	-	1.84
37	Apiole	1682	OS	16.23	20.54	3.88
38	epi- $\alpha$ -Bisabolol	1686	OS	3.89	0.41	0.15
39	(2E,6Z)-Farnesol	1716	OS	1.08	-	-
40	n-Tricosane	1768	AH	2.36	-	0.65
41	n-Tetracosane	2294	AH	0.45	0.26	10.17
	Total			98.66	98.94	99.50
	Monoterpene hydrocarbons (MH %)			7.54	22.57	25.54
	Oxygenated monoterpenes (OM %)			7.81	21.98	23.42
	Sesquiterpene hydrocarbons (SH %)			43.34	27.26	23.61
	Oxygenated sesquiterpenes (OS %)			37.25	26.87	16.11
	Others (%)			2.81	0.26	10.82

مونوترپین‌ها در رویشگاه تویه به ترتیب ۲۵/۵ و ۲۳/۴ درصد اجزای اسانس را تشکیل داده‌اند. علاوه بر این در رویشگاه تویه آلیفاتیک‌های هیدروکربنی (AH) مقدار قابل توجهی از ترکیب‌های شیمیایی گونه *S. olivieri* را به خود اختصاص داده‌اند (جدول ۴).

بیشترین ترکیب‌های شیمیایی این گونه در رویشگاه تنگ کاورد به سزکوبی‌ترین‌های هیدروکربنی و سزکوبی‌ترین‌های اکسیژن‌دار به ترتیب با ۴۳/۳ و ۳۷/۲ درصد مربوط بود، در حالی که در رویشگاه انزو، بهویژه رویشگاه تویه سهم این ترکیب‌ها کاهش یافته و در عوض مقدار مونوترپین‌های هیدروکربنی و مونوترپین‌های اکسیژن‌دار افزایش پیدا کرده بود (شکل ۲). این



شکل ۲- مقایسه گروه‌های اصلی ترکیب‌های تشکیل‌دهنده اسانس در جمعیت‌های مختلف؛ حروف مشابه در هر ستون نشان‌دهنده عدم اختلاف معنی‌دار بین آنها در سطح احتمال ۵ درصد با استفاده از آزمون LSD است.

**Figure 2.** Comparison of the main groups of essential oil constituents in different populations; in each column, means with common letters indicate no significant difference between them at the 5% probability level using the LSD test. MH= Monoterpene Hydrocarbons, OM= Oxygenated Monoterpenes, SH= Sesquiterpene Hydrocarbons, OS= Oxygenated Sesquiterpenes.

سه رویشگاه حاکی از آن است که آپیول، بورنیل استات، آلفا-پینن و سیس-کادینا-۱(۶)،۴-دیان به ترتیب با ۱۳/۵۱، ۱۳/۵۵ و ۸/۹۴ و ۹/۹۹ درصد بیشترین میانگین مقدار را تشکیل داده‌اند (جدول ۶).

تجزیه واریانس اجزای اسانس مشترک *S. olivieri* در سه رویشگاه تنگ کاورد، انزو و تویه نشان داد که بین میانگین این مواد مؤثره در سطح ۰/۱ و ۱ درصد تفاوت معنی‌داری وجود داشت (جدول ۵). مقایسه میانگین‌های مواد مؤثره مشترک در

جدول ۵- تجزیه واریانس ترکیب‌های اسانس *S. olivieri*

**Table 5.** Analysis of variance of *S. olivieri* essential oil compounds.

Sources of variations	d.f.	Mean Squares			
		Apiol	Bornyl acetate	$\alpha$ -Pinene	<i>cis</i> -Cadina-1(6),4-diene
Habitat	2	373.852***	403.690***	314.405***	115.922***
Experimental error	6	2.807	2.802	2.194	1.084
Sources of variations	d.f.	Mean Squares			
		$\alpha$ -Gurjunene	Spathulenol	<i>trans</i> -Cadina-1(6),4-diene	<i>n</i> -Tetracosane
Habitat	2	175.174***	92.039***	8.994**	160.735***
Experimental error	6	1.197	1.550	0.784	0.248
Sources of variations	d.f.	Mean Squares			
		Italicene	$\beta$ -Thujene	Caryophyllene oxide	<i>epi</i> - $\alpha$ -Bisabolol
Habitat	2	2.247***	30.335***	6.577***	21.858***
Experimental error	6	0.687	0.362	0.407	0.285

\*\* and \*\*\*: significant at 1 and 0.1% probability levels, respectively

جدول ۶- مقایسه میانگین ( $\pm$  انحراف معیار) ترکیب‌های اسانس *S. olivieri***Table 6.** Comparison of the mean ( $\pm$ SD) compositions of *S. olivieri* essential oil compounds.

Compounds	Areas		
	Tange Kavard	Enzo	Tuyeh
Apiole	16.23 $\pm$ 1.73	20.54 $\pm$ 2.08	3.88 $\pm$ 1.05
Bornyl acetate	3.44 $\pm$ 0.93	16.37 $\pm$ 1.79	20.71 $\pm$ 2.08
$\alpha$ -Pinene	0.86 $\pm$ 0.24	11.89 $\pm$ 1.70	16.24 $\pm$ 1.90
cis-Cadina-1(6),4-diene	14.49 $\pm$ 1.09	5.97 $\pm$ 0.91	6.36 $\pm$ 1.11
$\alpha$ -Gurjunene	13.81 $\pm$ 1.65	7.86 $\pm$ 0.74	1.97 $\pm$ 0.56
Spathulenol	12.17 $\pm$ 1.46	4.24 $\pm$ 1.10	5.37 $\pm$ 1.15
trans-Cadina-1(6),4-diene	5.19 $\pm$ 1.15	2.64 $\pm$ 0.52	3.22 $\pm$ 0.87
n-Tetracosane	0.45 $\pm$ 0.17	0.26 $\pm$ 0.12	10.17 $\pm$ 0.84
Italicene	1.76 $\pm$ 0.49	2.26 $\pm$ 0.88	3.09 $\pm$ 1.02
$\beta$ -Thujene	0.75 $\pm$ 0.25	0.97 $\pm$ 0.31	5.12 $\pm$ 0.96
Caryophyllene oxide	3.31 $\pm$ 0.94	1.16 $\pm$ 0.97	1.55 $\pm$ 0.52
epi- $\alpha$ -Bisabolol	3.89 $\pm$ 0.91	0.41 $\pm$ 0.14	0.15 $\pm$ 0.06

در رویشگاه تنگ کاورد، مقادیر اسیدیتّه، هدایت الکتریکی، آهک، ماسه و رس خاک نسبت به دو رویشگاه دیگر بیشتر بود (جدول ۸). ضمن اینکه مقادیر ماده آلی، پتانسیم، رطوبت اشباع و سیلت در رویشگاه انزو، نیتروژن و فسفر در رویشگاه تویه در مقایسه با سایر رویشگاه‌ها بیشتر بود.

تجزیه واریانس پارامترهای فیزیکوشیمیایی خاک نشان داد که بین هدایت الکتریکی، ماده آلی، نیتروژن، فسفر، پتانسیم، آهک، رطوبت اشباع، ماسه و سیلت در سطح ۰/۱ درصد و اسیدیتّه و ماسه در سطح ۵ درصد تفاوت معنی‌داری در سه رویشگاه وجود داشت (جدول ۷). مقایسه میانگین‌ها نشان داد که

جدول ۷- تجزیه واریانس پارامترهای فیزیکوشیمیایی خاک *S. olivieri***Table 7.** Variance analysis of soil physicochemical parameters of *S. olivieri*.

Sources of variations	d.f.	Mean Squares					
		pH	EC	OM	N	P	K
Habitat	2	0.025*	0.269***	6.181***	4.209***	37.800***	18540.217***
Experimental error	12	0.005	0.001	0.019	0.002	0.095	14.540
Sources of variations	d.f.	Mean Squares					
		Lime	SP	Sand	Silt	Clay	
Habitat	2	395.128***	244.845***	1340.0***	1486.667***	6.667*	
Experimental error	12	10.289	4.352	5.0	1.167	1.667	

\* and \*\*\*: significant at 5 and 0.1% probability levels, respectively

جدول ۸- مقایسه میانگین ( $\pm$  انحراف معیار) پارامترهای فیزیکوشیمیایی خاک *S. olivieri***Table 8.** Comparison of mean ( $\pm$ SD) soil physicochemical parameters of *S. olivieri*.

Soil parameters	Areas		
	Tange Kavard	Enzo	Tuyeh
pH	7.64 $\pm$ 0.03	7.59 $\pm$ 0.05	7.50 $\pm$ 0.11
EC (ds/m)	0.88 $\pm$ 0.03	0.45 $\pm$ 0.03	0.51 $\pm$ 0.02
OM (%)	1.80 $\pm$ 0.18	4.02 $\pm$ 0.11	3.02 $\pm$ 0.11
N (%)	0.10 $\pm$ 0.02	0.23 $\pm$ 0.03	1.75 $\pm$ 0.06
P (mg/L)	11.20 $\pm$ 0.25	9.40 $\pm$ 0.22	14.80 $\pm$ 0.41
K (mg/L)	37.60 $\pm$ 2.99	157.20 $\pm$ 4.79	117.30 $\pm$ 3.42
Lime (%)	61.87 $\pm$ 2.77	53.87 $\pm$ 2.90	44.11 $\pm$ 3.84
SP (%)	29.51 $\pm$ 2.47	40.89 $\pm$ 2.09	28.15 $\pm$ 1.59
Sand (%)	86.0 $\pm$ 1.58	54.0 $\pm$ 3.16	76.0 $\pm$ 1.58
Silt (%)	2.0 $\pm$ 0.71	36.0 $\pm$ 1.58	14.0 $\pm$ 0.71
Clay (%)	12.0 $\pm$ 1.22	10.0 $\pm$ 1.0	10.0 $\pm$ 1.58

دریا، بارندگی سالانه، نیتروژن و فسفر بیشترین تأثیر را بر مقادیر ان-تتراکوزان، بتا-توجن، ایتالیسین، بورنیل استات، آلفا-پینن، ارتفاع گیاه، قطر تاج پوشش، سطح تاج پوشش، سطح برگ و زیستوده در رویشگاه تویه داشت (شکل ۳). همچنین، رس، ماسه، هدایت الکتریکی، دمای سالانه، حداکثر دمای گرمترین ماه، حداقل دمای سردترین ماه، حداکثر و حداقل دمای مطلق و آهک بیشترین تأثیر را بر مقادیر اپی-آلفا-بیسابولول، سیس-کادینا-۱(۶)، ۴-دیان، اسپاتولول، کاریوفیلن اکسید، ترانس-کادینا-۱(۶)، ۴-دیان، آلفا-گورجون، اسپاتولول، کاریوفیلن اکسید، اپی-آلفا-بیسابولول همبستگی معنی دار داشتند (شکل ۳).

در میان عوامل محیطی، ارتفاع از سطح دریا، بارندگی سالانه، دمای سالانه، حداقل دمای سردترین ماه، حداقل دمای مطلق، آهک و نیتروژن بیشترین همبستگی معنی دار را با صفات رویشی و ترکیب‌های اسانس *S. olivieri* داشتند. همچنین، قطر و سطح تاج پوشش، و مواد مؤثره اپی-آلفا-بیسابولول، بورنیل استات، آلفا-پینن، سیس-کادینا-۱(۶)، ۴-دیان، آلفا-گورجون و اسپاتولول بیشترین همبستگی معنی دار را با عوامل محیطی نشان دادند (جدول ۹). بین ارتفاع گیاه، قطر تاج پوشش، سطح تاج پوشش، زیستوده و سطح برگ با بورنیل استات، آلفا-پینن، ان-تتراکوزان و بتا-توجن همبستگی مثبت معنی داری مشاهده شد. به عبارتی با افزایش مقادیر صفات رویشی، میزان این ترکیب‌ها نیز افزایش یافته بود. در حالی که صفات رویشی با آپیول، سیس-کادینا-۱(۶)، ۴-دیان، آلفا-گورجون، اسپاتولول، کاریوفیلن اکسید و اپی-آلفا-بیسابولول همبستگی منفی معنی داری داشتند.

**جدول ۹- همبستگی پیرسون بین صفات رویشی و ترکیب‌های اسانس *S. olivieri* با عوامل محیطی.**  
PCA متغیرهای محیطی مؤثر بر صفات رویشی و ترکیب‌های اسانس گونه *S. olivieri* نشان داد که ارتفاع از سطح

**Table 9.** Pearson correlation between vegetative traits and essential oil compounds of *S. olivieri* with environmental factors.

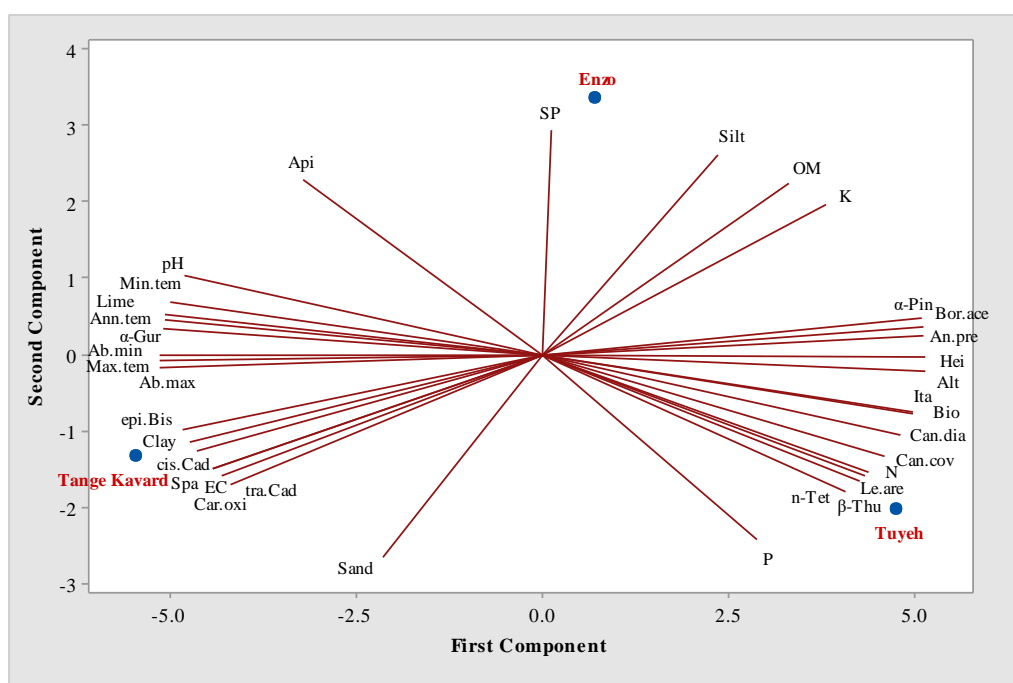
	Altitude	Annual precipitation	Annual temperature	Maximum temperature of hottest month	Minimum temperature of coldest month	Absolute maximum temperature	Absolute minimum temperature	pH
Hieght	.620*	.566*	.551*	-.522*	-.691**	.102	-.792**	-.361
Canopy diameter	.936**	.733**	-.748**	-.527*	-.918**	-.037	-.780**	-.595*
Canopy cover	.906**	.689**	-.723**	-.517*	-.894**	-.033	-.751**	-.597*
Leaf.area	.802**	.695**	-.775**	-.390	-.851**	-.217	-.723**	-.831**
Biomass	.636*	.539*	-.610*	-.222	-.663**	.125	-.537*	-.601*
Apiole	-.660**	-.482	.599*	.437	.749**	.149	.490	.554*
Bornyl acetate	.943**	.780**	-.762**	-.651**	-.843**	-.292	-.678**	-.469
$\alpha$ -Pinene	.960**	.814**	-.844**	-.604*	-.881**	-.352	-.722**	-.635*
cis-Cadina-1(6),4-diene	-.845**	-.864**	.676**	.617*	.779**	.194	.625*	.509
$\alpha$ -Gurjunene	-.954**	-.845**	.797**	.686**	.910**	.334	.735**	.725**
Spathulenol	-.764**	-.702**	.528*	.607*	.641*	.115	.616*	.343
trans-Cadina-1(6),4-diene	-.603*	-.570*	.495	.505	.463	.325	.574*	.562*
n-Tetracosane	.818**	.626*	-.712**	-.533*	-.868**	-.211	-.547*	-.578*
Italicene	.572*	.416	-.611*	-.282	-.575*	-.367	-.048	-.042
$\beta$ -Thujene	.836**	.656**	-.797**	-.472	-.886**	-.281	-.613*	-.750**
Caryophyllene oxide	-.639*	-.558*	.495	.452	.468	.319	.600*	.495
epi- $\alpha$ -Bisabolol	-.867**	-.830**	.668**	.662**	.752**	.390	.638*	.551*

## ادامه جدول ۹

Table 9. Continued.

	EC	OM	N	P	K	Lime	SP	Sand	Silt	Clay
Hieght	-.416	.273	.590*	.531*	.364	-.517*	-.271	-.097	.128	-.285
Canopy diameter	-.677**	.438	.874**	.647**	.558*	-.869**	-.149	-.190	.246	-.415
Canopy cover	-.596*	.334	.892**	.703**	.529*	-.843**	-.228	-.089	.144	-.358
Leaf.area	-.525*	.263	.835**	.717**	.381	-.693**	-.357	-.006	.060	-.288
Biomass	-.378	.168	.648**	.551*	.254	-.657**	-.245	-.003	.030	-.358
Apiole	.147	.184	-.924**	-.962**	.052	.688**	.743**	-.429	.394	.201
Bornyl acetate	-.893**	.733**	.725**	.394	.808**	-.879**	.217	-.537*	.579*	-.559*
$\alpha$ -Pinene	-.896**	.721**	.756**	.441	.801**	-.866**	.142	-.499	.547*	-.522*
cis-Cadina-1(6),4-diene	.971**	-.894**	-.517*	-.151	-.938**	.756**	-.353	.755**	-.777**	.692**
$\alpha$ -Gurjunene	.790**	-.514*	-.881**	-.650**	-.641*	.882**	.070	.292	-.342	.586*
Spathulenol	.926**	-.882**	-.424	-.046	-.930**	.712**	-.481	.769**	-.803**	.701**
trans-Cadina-1(6),4-diene	.812**	-.755**	-.312	-.011	-.818**	.519*	-.455	.663**	-.710**	.595*
n-Tetracosane	-.371	.040	.989**	.936**	.166	-.838**	-.556*	.220	-.181	-.333
Italicene	-.403	.305	.578*	.440	.284	-.707**	-.103	-.125	.129	-.352
$\beta$ -Thujene	-.428	.105	.974**	.907**	.232	-.807**	-.527*	.173	-.125	-.302
Caryophyllene oxide	.841**	-.768**	-.356	-.032	-.838**	.539*	-.522*	.662**	-.722**	.540*
epi- $\alpha$ -Bisabolol	.956**	-.809**	-.589*	-.252	-.877**	.738**	-.375	.667**	-.700**	.555*

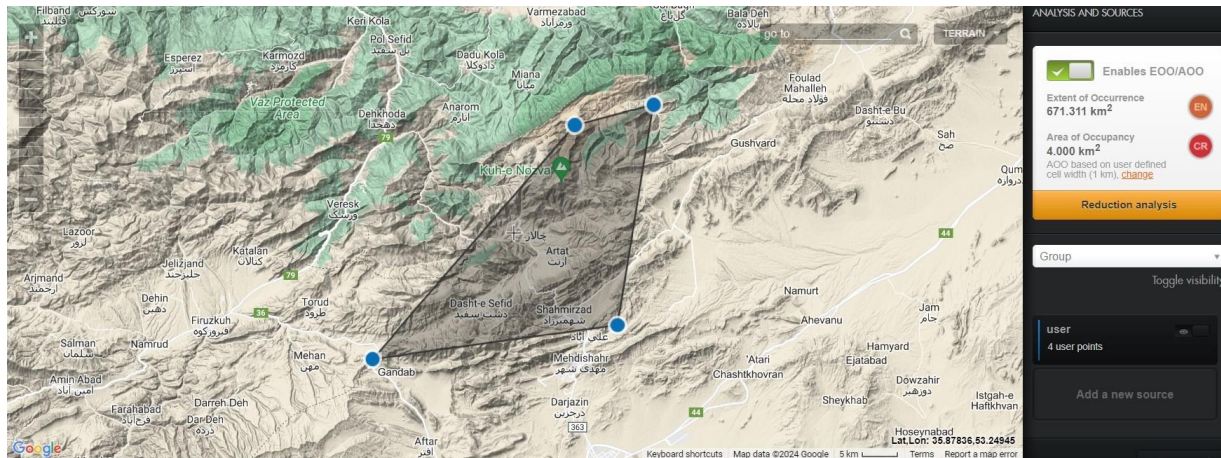
\* and \*\*: significant at 5 and 1% probability levels, respectively

شکل ۳- نمودار رتبه‌بندی متغیرهای محیطی، صفات رویشی و ترکیب‌های اسانس *S. olivieri*Figure 3. Ordination diagram of environmental variables, vegetative traits and essential oil compounds of *S. olivieri*.

Alt= Altitude, An.pre= Annual precipitation, An.tem= Annual temperature, Max.tem= Maximum temperature of the hottest month, Min.tem= Minimum temperature of the coldest month, Ab.max= Absolute maximum temperature, Ab.min= Absolute minimum temperature, pH= potential of Hydrogen, EC= Electrical conductivity, OM= Organic matter, N= Nitrogen, P= Phosphorus, K= Potassium, Lime= Calcium oxide, Gyp= Gypsum, SP= Saturation percentage, San= Sand, Sil= Silt, Cla= Clay, Hei= Height, Can.dia= Canopy diameter, Can.cov= Canopy cover, Le.are= Leaf.area, Bio= Biomass, Api= Apiole, Bor.ace= Bornyl acetate,  $\alpha$ -Pin=  $\alpha$ -Pinene, cis.Cad= cis-Cadina-1(6),4-diene, tra.Cad= trans-Cadina-1(6),4-diene,  $\alpha$ -Gu=  $\alpha$ -Gurjunene, Spa= Spathulenol, n-Tet= n-Tetracosane, Ita= Italicene,  $\beta$ -Thu=  $\beta$ -Thujene, Car.oxi= Caryophyllene oxide, epi-Bis= epi- $\alpha$ -Bisabolol.

مطالعه شده (AOO) ۴ کیلومترمربع و محدوده حضور آن در استان (EOO) ۶۷۱/۳۱۱ کیلومترمربع است (شکل ۴)، جایگاه حفاظتی این گونه به ترتیب CR و EN و بنابراین سطح حفاظتی کلی آن در بحران انقراض (CR) تعیین شد.

تعداد پایه‌های بالغ و دانه‌رُست *S. olivieri* در سه رویشگاه به ترتیب ۲۰۳ و ۲۷ شمارش شد. چرای دام و خشکسالی باعث تخریب جمعیت‌های این گونه و رویشگاه‌های آن شده است. با توجه به اینکه سطح تحت اشغال این گونه در جمعیت‌های



شکل ۴- محدوده حضور و سطح تحت اشغال گونه *Seseli olivieri*

**Figure 4.** Extent of Occurrence and Area of Occupancy by *Seseli olivieri*.

سطح برگ و زیستوده همبستگی مثبت معنی‌دار، و با سایر پارامترهای اقلیمی شامل دمای سالانه، حداقل دمای گرمترین ماه، حداقل دمای سردترین ماه، حداکثر و حداقل دمای مطلق همبستگی منفی معنی‌دار وجود دارد. نمودار رسته‌بندی تحلیل مولفه‌های اصلی نیز نشان می‌دهد که ارتفاع از سطح دریا و بارندگی سالانه بیشترین تأثیر را بر مقادیر صفات رویشی این گونه در منطقه تویه دارد.

در بررسی تأثیر ارتفاع از سطح دریا و پارامترهای اقلیمی بر صفات رویشی گونه ارتفاع‌پسند *Chaerophyllum macropodium* Boiss. در چهار منطقه استان تهران و البرز با دامنه ارتفاعی ۲۴۰۰-۱۹۰۰ متر نیز مشاهده شد که بین ارتفاع گیاه و سطح تاجپوشش با ارتفاع از سطح دریا، دمای سالانه، حداقل دمای سردترین ماه و حداقل دمای مطلق همبستگی معنی‌داری وجود دارد (Rabie et al., 2018). این نتایج تا حدود زیادی همسو با یافته‌های پژوهش حاضر است. در زمینه همبستگی تراکم و سطح تاجپوشش *Prangos uloptera* DC. با عوامل محیطی، از جمله ارتفاع از سطح دریا، بارندگی سالانه و دمای سالانه در چهار منطقه استان اردبیل با دامنه ارتفاعی ۲۳۰۰-۱۶۵۰ متر نتایج مشابه با پژوهش حاضر به دست آمد (Mirzaei Mossivand et al., 2018). در انطباق با پژوهش *Kelussia Kelussia* حاضر، سطح تاجپوشش گونه ارتفاع‌پسند

## بحث

ارتفاع یکی از پارامترهای مهم توپوگرافیکی است که سایر عوامل محیطی، از جمله دما، بارندگی، شدت تابش، سرعت باد، رطوبت قابل دسترس و طول دوره رشد گیاهان را تحت تأثیر قرار می‌دهد. به همین دلیل، رشد و نمو گونه‌ها براساس خصوصیات ژنتیکی و نیازهای اکولوژیکی شان در ارتفاع‌های مختلف تغییراتی را نشان می‌دهد. لذا گونه‌های ارتفاع‌پسند، نظریه *S. olivieri* در مناطق مرتفع‌تر شرایط مطلوبی برای رشد و گسترش خود دارند. مقایسه صفات رویشی *S. olivieri* در سه رویشگاه بررسی شده تأثیر شرایط محیطی را به خوبی نشان می‌دهد. در فلور ایران دامنه ارتفاعی این گونه ۱۳۰۰-۳۰۰۰ متر بالاتر از سطح دریا ذکر شده است و بیشترین پراکنش در زون ۲۳۰۰-۲۶۰۰ متر (Mozaffarian, 2007) است. بنابراین رویشگاه بهینه این گونه، مناطق کوهستانی و دامنه‌های صخره‌ای و سنگی است؛ به همین دلیل مقادیر شاخص‌های رویشی آن (ارتفاع گیاه، قطر تاجپوشش، سطح تاجپوشش، سطح برگ و زیستوده) در مرتفع‌ترین رویشگاه‌های بررسی شده (تویه با ارتفاع ۲۲۳۰ متر بالاتر از سطح دریا) در مقایسه با دو رویشگاه کم ارتفاع‌تر (ازو با ارتفاع ۲۰۱۰ متر و تنگ کاورد با ارتفاع ۱۷۲۰ متر) بیشتر است. در جدول همبستگی نیز مشاهده می‌شود که بین ارتفاع از سطح دریا و بارندگی سالانه با ارتفاع گیاه، قطر تاجپوشش، سطح تاجپوشش،

پژوهش حاضر مشترک هستند. در سایر گونه‌های این جنس نیز تفاوت در کمیت و کیفیت اجزای اسانس بهدلیل عوامل ژنتیکی و شرایط محیطی مختلف رویشگاهها وجود دارد. به عنوان مثال، در گونه *S. staurophyllum* Sefidkon (et al., 2003) که از دو منطقه گرمسار (Sedghat et al., 1997) و ریوش کاشمر (Farhang Sardrodi et al., 2013) گونه *S. transcaucasicum* Boiss. (Shahabipour et al., 2013) جمع آوری شده بود، به ترتیب ۱۵ و ۳۲ ترکیب شناسایی شد که ۱۱ ترکیب آنها مشترکند. همچنان، در گونه *S. transcaucasicum* Boiss. (Masoudi et al., 2006) جمع آوری شده بود، اجزای اسانس شناسایی شده به ترتیب ۵۴ و ۲۵ بودند که ۱۵ ترکیب آنها مشترکند. متاسفانه در هیچیک از مقالات ذکر شده شرایط رویشگاهی گونه‌ها، از جمله موقعیت جغرافیایی، ارتفاع از سطح دریا و اقلیم منطقه اشاره نشده و در مواردی فقط کد هرباریومی ذکر شده است. در صورتی که با استفاده از اطلاعات شرایط رویشگاهی امکان بررسی تأثیر عوامل محیطی بر کمیت و کیفیت اسانس گونه‌های دارویی وجود داشته و می‌توان شرایط مناسب را برای استحصال بهینه اسانس آنها تعیین و معروفی کرد.

نتایج همبستگی ترکیب‌های اسانس *S. olivieri* با عوامل محیطی نشان داد که هر یک از این ترکیب‌ها تحت تأثیر چند عامل محیطی قرار دارند. ضمن اینکه عکس العمل گیاه برای افزایش یا کاهش مقداری تعدادی از ترکیب‌ها مشابه است. به عنوان مثال، اپی-آلfa-بیسابولول، سیس-کادینا-۱(۶)، ۴-دیان، ترانس-کادینا-۱(۶)، ۴-دیان، آلفا-گورجون، اسپاتولول، کاربوفیلن اکسید و آپیول با دمای سالانه، حداقل دمای سردترین ماه، حداقل دمای مطلق، آهک، هدایت الکتریکی، ماسه و رس همبستگی مثبت معنی‌دار، و با ارتفاع از سطح دریا، بارندگی سالانه، نیتروژن، پتابسیم، ماده آلی و سیلت همبستگی منفی معنی‌دار داشتند. عکس العمل گیاه در مورد بورنیل استات، آلفا-پین، ان-تتراکوزان، بتا-توجن و ایتالیسین کاملاً متفاوت بود، به طوری که مقداری این ترکیب‌ها تحت تأثیر ارتفاع از سطح دریا، بارندگی سالانه و نیتروژن افزایش یافته، اما دمای سالانه، حداقل دمای سردترین ماه، حداقل دمای مطلق و آهک تأثیر منفی بر مقدار آنها داشتند. نمودار PCA نیز تأثیرپذیری این ترکیب‌ها را با پارامترهای محیطی تأیید کرد.

در زمینه تأثیر پارامترهای محیطی بر مقدار کمی و کیفی ترکیب‌های اسانس گونه‌های *Seseli rigidum* در ایران مطالعه‌ای انجام نشده است. در تنها پژوهشی که روی گونه *S. rigidum* در صربستان انجام شده بود، با وجود اختلاف در بازده اسانس ریشه هفت جمعیت این گونه، اما از نظر آماری تفاوت معنی‌داری در

رشته کوه زاگرس همبستگی مثبت معنی‌داری با ارتفاع و میزان شبی داشت، اما تاثیر بارندگی و جهت دامنه معنی‌دار نبود (Jahantab et al., 2022). برخلاف نتایج پژوهش‌های ذکر شده، در مطالعه صفات مورفولوژیکی گونه آلپی *Achillea aucheri* Boiss. در دامنه ارتفاعی ۴۳۰۰-۳۹۰۰ متر کوه دماؤند با افزایش ارتفاع از سطح دریا خصوصیاتی مانند، ارتفاع بوته، تعداد برگ در هر گره و زیستوده کاهش پیدا کرده است، اما میزان اسانس در ارتفاعات بیشتر بود (Farhang Sardrodi et al., 2015). این پژوهشگران بر این باورند که بخشی از انرژی فتوسنتری گیاهان در ارتفاعات بالاتر صرف تولید متابولیت‌های ثانویه بهویژه اسانس‌ها برای غله بر استرس و بقا در شرایط نامناسب می‌شود.

در میان پارامترهای فیزیکوشیمیایی خاک، نیتروژن و فسفر با ارتفاع گیاه، قطر تاجپوشش، سطح تاجپوشش، سطح برگ و زیستوده *S. olivieri* همبستگی مثبت معنی‌دار و با آهک، اسیدیته و هدایت الکتریکی همبستگی منفی معنی‌داری داشتند. بر این اساس، بیشترین مقدادر نیتروژن و فسفر در خاک منطقه تویه و بیشترین مقدادر نیتروژن و فسفر در خاک منطقه خاک منطقه تنگ کاورد مشاهده شد. نمودار PCA نیز موقعیت مکانی این پارامترها را در نزدیکی مناطق تویه و تنگ کاورد تأیید کرد. همبستگی معنی‌داری بین پارامترهای اقلیمی، توپوگرافیکی و ادافیکی با سطح تاجپوشش و تراکم گونه‌های ارتفاع پسند *P. pabularia* Lindl. و *Prangos ferulacea* (L.) Lindl. در استان اردبیل با دامنه ارتفاعی ۱۷۰۰-۲۴۰۰ متر نیز مشاهده شد (Mirzaei Mossivand et al., 2019). در ارتفاعات بالا، هدایت الکتریکی و ریزمغذی‌های خاک کاهش می‌یابد که ممکن است بهدلیل کاهش میزان سیلت و رس در این مناطق باشد. گونه‌هایی که در ارتفاعات زندگی می‌کنند مکانیسم‌های دفاعی خاصی، از جمله تجمع متابولیت‌های ثانویه را در پاسخ به تنش‌های غیرزیستی به عنوان یک استراتژی بقا اتخاذ می‌کنند (Ibrahim et al., 2020).

در مجموع، ۴۱ ترکیب شیمیایی در اندام هوایی جمعیت‌های تنگ کاورد، انزو و تویه *S. olivieri* شناسایی شد که از میان آنها ۲۵ ترکیب مشترک هستند. در زمینه شناسایی ترکیب‌های اسانس این گونه تا کنون فقط یک مطالعه در دو منطقه شهرمیرزاد سمنان و گلابدره تهران انجام شده است (Yassa & Akhani, 2016). در این مناطق به ترتیب ۴۹ و ۵۲ ترکیب شناسایی شد که ۲۳ ترکیب آنها مشترک بودند؛ ضمن اینکه از ۷۸ ترکیب اسانس این دو جمعیت، ۳۱ ترکیب با سه جمعیت

کرمان همبستگی مثبت معنی داری مشاهده شد، اما همبستگی بین آلفا-پین و آهک مثبت معنی دار بود (Saadatfar et al., 2020). همبستگی عوامل محیطی با ترکیب‌های اصلی اسانس ۱۰ جمعیت *F. assa-foetida* در رویشگاه‌های طبیعی ایران با دامنه ارتفاعی ۴۰-۵۷۳ متر، بارندگی سالانه ۱۲۵۰-۲۸۵۰ متر، درجه سانتی‌گراد بررسی شد (Karimi et al., 2020). با وجود اختلاف محسوس بین شرایط رویشگاهی این جمعیت‌ها، اما همبستگی بسیار کمی بین اجزای اسانس و عوامل محیطی، بهویژه ارتفاع، بارندگی و دما مشاهده شد. آلفا-پین به عنوان تنها ترکیب اسانس مشترک با *S. olivieri* با اسیدیته همبستگی منفی معنی دار داشت، اما برخلاف *S. olivieri* با رس و پتاسیم همبستگی مثبت معنی داری را نشان داد. همسو با پژوهش حاضر، بین آلفا-پین و بتا-پین با ارتفاع از سطح دریا در ۱۴ جمعیت-*F. assa-foetida* با دامنه ارتفاعی ۷۰۰-۲۳۰۰ متر همبستگی مثبت معنی داری مشاهده شد (Hassanabadi et al., 2019).

کیفیت داروهای گیاهی که نقش بسیار مهمی در سیستم بهداشتی ایفا می‌کند، توسط مواد مؤثره تولیدشده توسط گیاهان تعیین می‌شود. نوع، میزان و نسبت این مواد تحت تاثیر عوامل اکولوژیکی در مناطقی که گیاهان در آن رشد می‌کنند، متفاوت است (Li et al., 2020). به عنوان مثال، گیاه دارویی ضدسرطان *Sinopodophyllum hexandrum* (Royle) T.S.Ying هشت رویشگاه طبیعی چین با دامنه ارتفاعی ۳۸۵۰-۱۰۰۰ متر مورد بررسی قرار گرفت (Liu et al., 2015). همبستگی بین مواد مؤثره ریشه این گونه و عوامل محیطی نشان داد که این پارامترها بر روی میزان و نوع مواد مؤثره اثر معنی داری دارند. عوامل اکولوژیکی تاثیرگذار بر مواد مؤثره، شامل بارندگی سالانه، میانگین دمای تیرماه، دوره بدون یخ‌بندان، مدت تابش آفتاب، اسیدیته، ماده آلی و پتاسیم خاک بود. نتایج نشان داد که از نظر میزان و نوع متابولیت‌های ثانویه، شرایط بعضی از رویشگاه‌ها برای تولید پودوفیلوتوكسین و لیگنان‌ها، و بعضی دیگر برای تولید کورستین و کامپفرون مساعد بود. در پژوهش حاضر نیز *S. olivieri* در هر یک از رویشگاه‌ها دارای ترکیب‌های اسانس با ارزشی است. در رویشگاه تویه، بورنیل استات، آلفا-پین، ان-تراتاکوزان و بتا-توجن به ترتیب بیشترین اجزای اسانس را تشکیل داده‌اند. بورنیل استات به عنوان دارویی ضد التهاب و تعدیل کننده سیستم ایمنی، و افزودنی غذا و طعم‌دهنده کاربرد دارد (Zhao et al., 2023). طیف گسترده‌ای از فعالیت‌های دارویی در مورد آلفا- و بتا-پین گزارش شده است، از جمله تعدیل مقاومت آنتی‌بیوتیکی، ضد انعقاد، ضد سرطان، ضد میکروبی، ضد مالاریا،

میانگین بازده اسانس وجود نداشت و تأثیر معنی دار اقلیم یا نوع خاک بر بازده اسانس مشاهده نشد (Marčetić et al., 2013). در تمام جمعیت‌ها، فالکارینول ترکیب اصلی بود و پس از آن آکتانول، متیل لینولیت، آلفا-مورولن، ۳-بوتیل‌فتالید و فالکارینول اجزای اصلی را تشکیل داده‌اند. ترکیب‌های شیمیایی اصلی ریشه *S. rigidum* جمع‌آوری شده از بلغارستان، فالکارینول، سابین و المول؛ و از صربستان با اقلیم مرطوب و خاک سرپانتین، فالکارینول و با اقلیم نیمه‌خشک و خاک آهکی، فالکارینول و آلفا-پین بود (Živković et al., 2016). در هیچیک از این پژوهش‌ها رابطه بین اجزای اسانس با شرایط محیطی تعیین نشده بود.

همبستگی بین برخی از عوامل محیطی و ترکیب‌های اسانس در سایر گونه‌های تیره Apiaceae نیز گزارش شده است. در بررسی اجزای اسانس بذر *Heracleum persicum* Desf. که از ۱۰ جمعیت در مناطق مختلف کشور جمع‌آوری شده بود، بین برخی از اجزای اسانس و تعدادی از ۳۲ پارامتر اقلیمی و ادافیکی همبستگی معنی داری مشاهده شد (Hasani et al., 2017). البته هیچیک از اجزای اصلی اسانس این گونه با ترکیب‌های *S. olivieri* مشابه نبودند. به رغم دامنه ارتفاعی ۱۵۰۰-۲۹۰۰ متر این مناطق، اما همبستگی معنی داری بین ترکیب‌های اسانس *H. persicum* و ارتفاع از سطح دریا وجود نداشت. در چهار جمعیت بین ترکیب‌های اصلی *Chaerophyllum macropodium* اسانس و برخی از عوامل محیطی همبستگی معنی داری مشاهده شد (Rabie et al., 2018). آلفا-پین تنها ترکیب *S. olivieri* است که با ارتفاع از سطح دریا، بارندگی سالانه، سیلت و رس همبستگی مثبت معنی دار و با دمای سالانه، حداکثر و حداقل دمای مطلق و ماسه همبستگی منفی معنی داری را نشان داد. این نتایج همسو با یافته‌های پژوهش حاضر است، اما برخلاف *S. olivieri* بین آلفا-پین با اسیدیته و آهک همبستگی مثبت، و ماده آلی همبستگی منفی معنی داری وجود داشت. در بررسی تأثیر شرایط محیطی بر عملکرد و محتوای ترکیب‌های شیمیایی ۹ جمعیت *Ferula assa-foetida* L. در استان کرمان با دامنه ارتفاعی ۳۱۰۰-۱۸۵۰ متر، بارندگی سالانه ۱۴۵-۲۷۰ میلی‌متر و دمای سالانه ۷/۱۵ درجه سانتی‌گراد، همبستگی منفی بین افزایش ارتفاع با بازده اسانس مشاهده شد، اما همبستگی معنی داری بین ترکیب‌های اسانس اصلی نظیر آلفا-پین و پارامترهای توپوگرافی، اقلیمی و ادافیکی وجود نداشت (Moghaddam & Farhadi, 2015). در انطباق با نتایج پژوهش حاضر، بین آلفا-پین و پتاسیم خاک دو جمعیت *F. assa-foetida* در استان

## نتیجه‌گیری

به طور کلی، اثرات درمانی بالینی گیاهان دارویی به کمیت و کیفیت متابولیت‌های ثانویه آنها مربوط می‌شود. این متابولیت‌ها شاخص مهمی برای ارزیابی کیفیت مواد دارویی محسوب می‌شوند. با این حال، سنتز و تجمع متابولیت‌های ثانویه بسیار پیچیده است، زیرا تحت تأثیر عوامل ژنتیکی (بیان ژن‌های تنظیم‌کننده) و عوامل محیطی (نور، دما، آب و غیره) قرار دارند. بنابراین، با توجه به هدف مورد نظر باید شرایط محیطی مناسب را برای گیاه فراهم کرد تا به عملکرد شیمیایی مطلوب دست یافت. نتایج پژوهش حاضر نشان داد که با وجود تشابه نسبی اجزای اصلی انسانس این گونه در سه رویشگاه، اما درصد آنها متفاوت است. در بین خصوصیات محیطی، ارتفاع، بارندگی سالانه، دمای سالانه، حداقل دمای سردترین ماه، حداقل دمای مطلق، آهک و نیتروژن مهم‌ترین عوامل موثر بر صفات رویشی و درصد مواد موثره این گونه بودند. از این رو دامنه‌های مرتفع و کوهستانی با اقلیم نیمه‌خشک، نظیر رویشگاه تویه شرایط رویشی مناسبی را برای رشد و نمو این گونه فراهم می‌کنند. علاوه براین، مواد موثره این گونه در مناطق مرتفع در مقایسه با دامنه‌های کم ارتفاع خواص دارویی ارزشمندتری دارند.

## سپاسگزاری

نگارندگان از صندوق حمایت از پژوهشگران و فناوران کشور (INSF) بابت حمایت مالی این پژوهش و از مساعدت مؤسسه تحقیقات جنگلهای و مرتع کشور (RIFR) برای اجرای این پژوهش سپاسگزاری می‌کنند.

آنـتـیـاـکـسـیدـانـ، ضدـالـتهـابـ، ضدـاضـطـرـابـ، ضدـدرـدـ، مـحـافـظـ سـيـسـتـمـ گـوارـشـیـ، ضدـتـشـنجـ وـ مـحـافـظـتـ سـيـسـتـمـ عـصـبـیـ (Salehi et al., 2019). انـتـراـکـوزـانـ خـاـصـیـتـ آـنـتـیـاـکـسـیدـانـیـ دـارـدـ وـ دـرـ Lomarat et al., (2015; Bangar et al., 2022 آـنـتـیـاـکـسـیدـانـیـ وـ ضدـمـیـکـرـوـبـیـ استـ (Garzoli et al., 2019). درـ روـیـشـگـاهـ تنـگـ کـاـوـرـدـ، کـادـینـاـ (6)، ـ4ـ دـیـانـ، آـلـفـاــگـورـجـونـ وـ اـسـپـاـتـوـلـنـوـلـ بـهـ تـرـتـیـبـ بـیـشـتـرـینـ مـقـادـیرـ تـرـکـیـبـهـاـیـ اـسـانـسـ رـاـ شـامـلـ مـیـشـونـدـ. کـادـینـاـ (6)، ـ4ـ دـیـانـ بـهـ گـروـهـیـ اـزـ سـسـکـوـئـیـ تـرـپـینـهـاـیـ مـیـشـونـدـ. آـلـفـاــگـورـجـونـ فـعـالـیـتـ مـیـدـهـنـدـ (Salinas et al., 2020) آـلـفـاــگـورـجـونـ فـعـالـیـتـ آـنـتـیـاـکـسـیدـانـیـ، ضدـالـتهـابـ، ضدـمـیـکـرـوـبـیـ دـارـدـ وـ اـغـلـبـ بـرـایـ تـقوـیـتـ عـطـرـهـاـ وـ مـحـصـوـلـاتـ آـرـایـشـیـ بـاـ بـوـیـ تـازـهـ وـ طـعـمـدـهـنـدـهـ اـنـوـاعـ غـذـاـهـاـ اـسـتـفـادـهـ مـیـشـودـ (Rajput et al., 2018). اـسـپـاـتـوـلـنـوـلـ دـارـایـ فـعـالـیـتـهـاـیـ آـنـتـیـاـکـسـیدـانـیـ، ضدـالـتهـابـ، ضدـسـرـطـانـ اـسـتـ (Passos et al., 2022) آـپـیـوـلـ نـیـزـ بـهـعـنـوانـ دـارـوـیـ ضدـسـرـطـانـ مـعـرـفـیـ شـدـهـ اـسـتـ وـ درـ گـذـشـتـهـ بـرـایـ درـمانـ اـخـتـلـالـاتـ قـاعـدـگـیـ وـ سـقطـ جـنـيـنـ اـسـتـفـادـهـ مـیـشـدـ (Wu et al., 2019). اـینـ تـرـکـیـبـ درـ روـیـشـگـاهـهـاـیـ اـنـزوـ وـ تنـگـ کـاـوـرـدـ بـهـ تـرـتـیـبـ بـیـشـتـرـینـ درـصدـ اـسـانـسـ رـاـ تـشـکـیـلـ مـیـدـهـدـ. بنـبـارـایـنـ درـ سـهـ روـیـشـگـاهـ بـرـرسـیـ شـدـهـ تـرـکـیـبـهـاـیـ اـصـلـیـ اـسـانـسـ گـیـاهـ *S. olivieri* کـارـبـردـ دـارـوـیـ دـاشـتـهـ وـ مـیـ تـوـانـ اـزـ آـنـهاـ بـرـایـ درـمانـ بـیـمـارـیـهـاـ اـسـتـفـادـهـ کـرـدـ.

## REFERENCES

- Adams, R.P.** 2007. Identification of Essential Oil Components by Gas Chromatography/Mass Spectrometry. 4th ed. Carol Stream, IL: Allured Publishing Corporation.
- Anonymous,** 2009. Guidelines for Laboratory Analysis of Soil and Water Samples, no. 467. Tehran: Vice Presidency for Planning and Supervision Publications. (In Persian)
- Arzani, H. & Abedi, M.** 2015. Rangeland assessment (Vegetation measurement). University of Tehran Press, Tehran. (In Persian)
- Bangar, S.P., Dunno, K., Kumar, M., Mostafa, H. & Maqsood, S.** 2022. A comprehensive review on lotus seeds (*Nelumbo nucifera* Gaertn.): Nutritional composition, health-related bioactive properties, and industrial applications. Journal of Functional Foods 89, 104937. <https://doi.org/10.1016/j.jff.2022.104937>
- Chizzola, R.** 2019. Chemodiversity of Essential Oils in *Seseli libanotis* (L.) W.D.J. Koch (Apiaceae) in Central Europe. Chemistry & Biodiversity 16, e1900059. <https://doi.org/10.1002/cbdv.201900059>
- Farhang Sardrodi, A., Kheyri, A., Soleymani, A. & Zibaseresht, R.** 2015. Evaluation of morphological traits and oil contents of *Achillea aucheri* from different altitudes. Journal of Medicinal Plants and By-products 2: 219-223. <https://doi.org/10.22092/JMPB.2015.108912>
- Garzoli, S., Masci, V.L., Ovidi, E., Turchetti, G., Zago, D. & Tiezzi, A.** 2019. Chemical

- investigation of a biologically active *Schinus molle* L. leaf extract. Journal of Analytical Methods in Chemistry 2019, 8391263. <https://doi.org/10.1155/2019/8391263>
- Habibi, Z., Masoudi, Sh. & Rustaiyan, A.** 2003. Chemical composition of the essential oil of *Seseli tortuosum* L. ssp. *kiabii* khani. from Iran. Journal of Essential Oil Research 15(6): 412-413. <https://doi.org/10.1080/10412905.2003.9698625>
- Hasani, R., Mehregan, I., Larijani, K., Nejadsattari, T. & Scalone, R.** 2017. Survey of the impacts of soil and climatic variations on the production of essential oils in *Heracleum persicum*. BIODIVERSITAS 18(1): 365-377. <https://doi.org/10.13057/biodiv/d180148>
- Hassanabadi, M., Ebrahimi, M., Farajpour, M. & Dejahang, A.** 2019. Variation in essential oil components among Iranian *Ferula assa-foetida* L. accessions. Industrial Crops and Products 140, 111598. <https://doi.org/10.1016/j.indcrop.2019.111598>.
- Hassler, M.** 1994-2024. *World plants: synonymic checklist and distribution of the world flora*. Version 19.1; last update March 1st, 2024. Retrieved March 8, 2024, from <https://www.worldplants.de/>
- Ibrahim, I.A., Jabbour, A.A., Abdulmajeed, A.M., Elhady, M.E., Almaroai, Y.A. & Hashim, A.M.** 2022. Adaptive responses of four medicinal plants to high altitude oxidative stresses through the regulation of antioxidants and secondary metabolites. Agronomy 12(12): 3032. <https://doi.org/10.3390/agronomy12123032>
- IUCN**, 2022. Guidelines for Using the IUCN Red List Categories and Criteria. Version 15. Prepared by the Standards and Petitions Committee, 116 p.
- Jahantab, E., Mahmoudi, M.R., Sharafatmandrad, M., Karimian, V., Sheidai-Karkaj, E., Khademi, A., Morshedloo, M.R., Hano, C. & Lorenzo, J.M.** 2022. Determining effective environmental factors in the distribution of endangered endemic medicinal plant species using the BMLR model: The example of wild celery (*Kelussia odoratissima* Mozaff., Apiaceae) in Zagros (Iran). Plants 11(21): 2965. <https://doi.org/10.3390/plants11212965>
- Karimi, A., Krahmer, A., Herwig, N., Hadian, J., Schulz, H. & Meiners, T.** 2020. Metabolomics approaches for analyzing effects of geographic and environmental factors on the variation of root essential oils of *Ferula assa-foetida* L. Journal of Agricultural and Food Chemistry 68(37): 9940-9952. <https://doi.org/10.1021/acs.jafc.0c03681>
- Li, Y., Kong, D., Fu, Y., Sussman, M.R. & Wu, H.** 2020. The effect of developmental and environmental factors on secondary metabolites in medicinal plants. Plant Physiology and Biochemistry 148: 80-89. <https://doi.org/10.1016/j.plaphy.2020.01.006>
- Liu, W., Liu, J., Yin, D. & Zhao, X.** 2015. Influence of ecological factors on the production of active substances in the anti-cancer plant *Sinopodophyllum hexandrum* (Royle) T.S.Ying. PLoS ONE 10(4): e0122981. <https://doi.org/10.1371/journal.pone.0122981>
- Lomarat, P., Chancharunee, S., Anantachoke, N., Kitphati, W., Sripha, K. & Bunyapraphatsara, N.** 2015. Bioactivity-guided separation of the active compounds in *Acacia pennata* responsible for the prevention of Alzheimer's disease. Natural Product Communications 10(8): 1431-1434. <https://doi.org/10.1177/1934578X1501000830>
- Marčetić, M., Kovačević, N., Lakušić, D. & Lakušić, B.** 2017. Habitat-related variation in composition of the essential oil of *Seseli rigidum* Waldst. & Kit. (Apiaceae). Phytochemistry 135: 80-92. <https://doi.org/10.1016/j.phytochem.2016.12.004>
- Marčetić, M.D., Lakušić, B.S., Lakušić, D.V. & Kovačević, N.N.** 2013. Variability of the root essential oils of *Seseli rigidum* Waldst. & Kit. (Apiaceae) from different populations in Serbia. Chemistry & Biodiversity 10(9): 1653-1666. <https://doi.org/10.1002/cbdv.201200439>
- Masoudi, Sh., Esamaeili, A., Khalilzadeh, M.A., Rustaiyan, A., Moazami, N., Akhgar, M.R. & Varavipoor, M.** 2006. Volatile constituents of *Dorema aucheri* Boiss., *Seseli libanotis* (L.) W.D. Koch var. *armeniacum* Bordz. and *Conium maculatum* L. three Umbelliferae herbs growing wild in Iran. Flavour and Fragrance Journal 21(5): 801-804. <https://doi.org/10.1002/ffj.1722>
- Mirzaei Mossivand, A., Ghorbani, A., Zare Chahoki, M., Keivan Behjou, F. & Sefidi, K.** 2018. Environmental factors affecting the distribution of *Prangos uloptera* in rangelands of Ardabil province. Iranian Journal of Range and Desert Research 24(4): 791-804. <https://doi.org/10.22092/ijrdr.2017.114890> (In Persian)
- Mirzaei Mossivand, A., Ghorbani, A., Zare Chahoki, M., Keivan Behjou, F. & Sefidi, K.** 2019. Comparison of some environmental factors effecting the distribution of *Prangos ferulacea* and *P. pabularia* in rangelands of Ardabil province. Iranian Journal of Range and Desert

- Research 25(2): 235-247.  
<https://doi.org/10.22092/ijrdr.2018.116837> (In Persian)
- Moghaddam, M. & Farhadi, N.** 2015. Influence of environmental and genetic factors on resin yield, essential oil content and chemical composition of *Ferula assa-foetida* L. populations. Journal of Applied Research on Medicinal and Aromatic Plants 2(3): 69-76.  
<https://doi.org/10.1016/j.jarmap.2015.04.001>
- Mozaffarian, V.** 2007. *Eriocycla* Lindl., *Seseli* L., *Lomatopodium* Fisch. & C.A. Mey. and *Libanotis* J. Hill – In: Assadi, M. (ed.), Flora of Iran, Umbelliferae, no. 54: 342-353. Research Institute of Forests and Rangelands Publication, Tehran. (In Persian)
- Onder, A., Nahar, L., Cinar, A.S. & Sarker, S.D.** 2023. The genus *Seseli* L.: A comprehensive review on traditional uses, phytochemistry, and pharmacological properties. Journal of Herbal Medicine 38 (2023), Article 100625.  
<https://doi.org/10.1016/j.hermed.2023.100625>.
- Ozturk, S. & Ercisli, S.** 2006. Chemical composition and in vitro antibacterial activity of *Seseli libanotis*. World Journal of Microbiology & Biotechnology 22: 261-265.  
<https://doi.org/10.1007/s11274-005-9029-9>
- Passos, B.G., de Albuquerque, R.D.D.G., Muñoz-Acevedo, A., Echeverria, J., Llaure-Mora, A.M., Ganoza-Yupanqui, M.L. & Rocha, L.** 2022. Essential oils from *Ocotea* species: Chemical variety, biological activities and geographic availability. Fitoterapia 156, 105065.  
<https://doi.org/10.1016/j.fitote.2021.105065>.
- Rabdanova, N.P., Tykheev, Zh.A., Taraskin, V.V., Zhigmittsyrenova, B.M., Babinov, S.S., Goncharova, D.B., Kazakov, M.V. & Chimitov, D.G.** 2024. Composition and antibacterial activity of essential oils from roots of *Seseli condensatum*. Chemistry of Natural Compounds 60(1): 171-173.  
<https://doi.org/10.1007/s10600-024-04280-z>
- Rabie, M., Tabatabaei Ghomi, N.S., Asri, Y. & Bakhshi Khaniki, G.** 2018. Vegetative characteristics and essential oil of *Chaerophyllum macropodum* Boiss. in different habitats. Journal of Applied Biology 31(1): 90-108.  
<https://doi.org/10.22051/JAB.2017.7871.1022> (In Persian)
- Rajput, M.S., Rathore, D. & Dahima, R.** 2018. Anti-inflammatory potential of  $\alpha$ -Fenchol and  $\alpha$ -Gurjunene: An in vitro study. Panacea Journal of Pharmacy and Pharmaceutical Sciences 7(3): 129-135.
- Rechinger, K.H.** 1987. *Eriocycla* Lindl., *Seseli* L., *Lomatopodium* Fisch. & C.A. Mey. and *Libanotis* J. Hill – In: Rechinger, K.H. (ed.), Flora Iranica, Umbelliferae, no. 162: 333-355. Akad. Druck- und Verlagsanstalt, Graz.
- Saadatfar, A., Hossein Jafari, S. & Tavassolian, I.** 2020. Effect of edaphic conditions on phytochemical latex yield of bitter asafetida (*Ferula assa-foetida* L.) medicinal plant in two natural habitats in Kerman province. Eco-phytochemical Journal of Medicinal Plants 8(1): 1-16. (In Persian)
- Salehi, B., Upadhyay, S., Erdogan, O.I., Kumar Jugran, A., Jayaweera, S.L.D., Dias, D., Sharopov, F., Taheri, Y., Martins, N., Baghalpour, N., Cho, W.C. & Sharifi-Rad, J.** 2019. Therapeutic potential of  $\alpha$ - and  $\beta$ -Pinene: A miracle gift of nature. Biomolecules 9(11): 738. <https://doi.org/10.3390/biom9110738>
- Salinas, M., Bec, N., Calva, J., Ramírez, J., Andrade, J., Larroque, C., Vidari, G. & Armijos, C.** 2020. Chemical composition and anticholinesterase activity of the essential oil from the ecuadorian plant *Salvia pichinchensis* Benth. Records of Natural Products 14(4): 276-285.  
<https://doi.org/10.25135/rnp.164.19.07.1342>
- Sedghat, S., Rustaiyan, A., Khosravi, M. & Masoudi, Sh.** 2003. Chemical constituents of the essential oil of *Lomatopodium khorassanicum* Mozaffarian, a species endemic to Iran. Journal of Essential Oil Research 15(6): 416-417.  
<https://doi.org/10.1080/10412905.2003.9698627>
- Sefidkon, F., Khajavi, M.S. & Mirza, M.** 1997. Essential oil of *Lomatopodium staurophyllum* (Rech.f.) Rech.f. Journal of Essential Oil Research 9(4): 471-472.  
<https://doi.org/10.1080/10412905.1997.9700753>
- Shahabipour, S., Firuzi, O., Asadollahi, M., Miri, M. & Javidnia, K.** 2013. Essential oil composition and cytotoxic activity of *Libanotis transcaucasica* Schischk. from Iran. Natural Products Chemistry & Research 1(2): 1-3.  
<https://doi.org/10.4172/2329-68361000108>
- Shishkin, B.K.** 1950. *Libanotis* L. – In: Shishkin, B.K. (ed.), Flora of the U.S.S.R. vol. XVI: 472-483. Izdatel'stvo Akademii Nauk SSSR, Moskva-Leningrad.
- Todorova, M., Trendafilova, A. & Dimitrov, D.** 2013. Essential oil composition of *Seseli rigidum* Waldst. from Bulgaria. Comptes rendus de l'Acade'mie bulgare des Sciences 66(7): 991-996.
- Wu, K.H., Lee, W.J., Cheng, T.C., Chang, H.W., Chen, L.C., Chen, C.C., Lien, H.M., Lin, T.N. & Ho, Y.S.** 2019. Study of the antitumor

- mechanisms of apiole derivatives (AP-02) from *Petroselinum crispum* through induction of G0/G1 phase cell cycle arrest in human COLO 205 cancer cells. BMC Complementary and Alternative Medicine 19, 188. <https://doi.org/10.1186/s12906-019-2590-9>
- Yassa, N. & Akhani, H.** 2016. The essential oils composition in two species of the genus *Eriocycla* Lindl. (Apiaceae) from Iran. <https://doi.org/10.13140/RG.2.1.4866.2803>
- Zengin, G., Stojković, D., Mahomoodally, M.F., Jugreet, B.S., Paksoy, M.Y., Ivanov, M., Gašić, U., Gallo, M. & Montesano, D.** 2021. Comprehensive biological and chemical evaluation of two *Seseli* species (*S. gummiferum* and *S. transcaucasicum*). Antioxidants 10(10), 1510. <https://doi.org/10.3390/antiox10101510>
- Zhao, Z.-J., Sun, Y.-L. & Ruan, X.-F.** 2023. Bornyl acetate: A promising agent in phytomedicine for inflammation and immune modulation. Phytomedicine 114, 154781, <https://doi.org/10.1016/j.phymed.2023.154781>.
- Živković, L., Čabarkapa, A., Marčetić, M., Kovačević, N., Bajić, V., Jovičić, S. & Spremo-Potparević, B.** 2016. Evaluation of genotoxic and antigenotoxic properties of essential oils of *Seseli rigidum* Waldst. & Kit. (Apiaceae). Archives of Biological Sciences 68(1): 135-144. <https://doi.org/10.2298/ABS150512135Z>

\*\*\*\*\*

**How to cite this article:**

**Rabie, M., Asri, Y. & Sefidkon, F.** 2024. The effect of environmental conditions on the functional traits of the endemic species *Seseli olivieri* Boiss. Nova Biologica Reperta 11: 1-18. (In Persian).

ریبعی، م.، عصری، ی. و سفیدکن، ف. ۱۴۰۳. تأثیر شرایط محیطی بر صفات عملکردی گونه اندمیک *Seseli olivieri* Boiss. یافته‌های نوین در علوم زیستی ۱۱: ۱-۱۸.